

# Анализ затухания волн: L=760, DW=240, R=0.0001

## Параметры моделирования

- Длина образца:  $L = 760$  м
- Ширина образца:  $DW = 240$  м
- Коэффициент затухания:  $R = 0.0001$
- Модуль Юнга:  $E$ , Коэффициент Пуассона:  $\nu$ , Плотность:  $\rho$

## Расчётные скорости волн

- Аналитическая скорость продольной волны:  $v_p = 376.43$  м/с
- Аналитическая скорость поперечной волны:  $v_s = 201.21$  м/с
- Аналитическая скорость Рэлеевской волны:  $v_r = 186.35$  м/с
- Временной шаг:  $\Delta t = 3.41e - 04$  с
- Экспериментальная скорость поперечной волны:  $v_s^{exp} = 250.00$  м/с
- Экспериментальная скорость отраженной продольной волны:  $v_p^{ref} = 192.25$  м/с
- Величина ошибки:  $\varepsilon = 1.04e - 07$

## Анализ прихода продольной волны

- Аналитическое время прихода продольной волны:  $t_{analytical} = 2.02$  с
- Экспериментальный индекс прихода продольной волны: 6058
- Экспериментальное время прихода продольной волны:  $t_{wave} = 2.06$  с
- Скорость пришедшей продольной волны:  $v_p^{exp} = 368.14$  м/с
- Длина продольной волны в индексах: 1457
- Длина продольной волны в метрах:  $\lambda_p = 182.75$  м

## Анализ пересечения волн

- Экспериментальное время пересечения волн:  $t_{intersection} = 2.62$  с
- Экспериментальный индекс пересечения волн: 7677
- Экспериментальное расстояние пересечения волн:  $x_{intersection} = 653.98$  м
- Номер приемника, ближайшего к пересечению: 33
- Индекс прихода падающей волны через ресивер пересечения: 5261

## Визуализация тензора

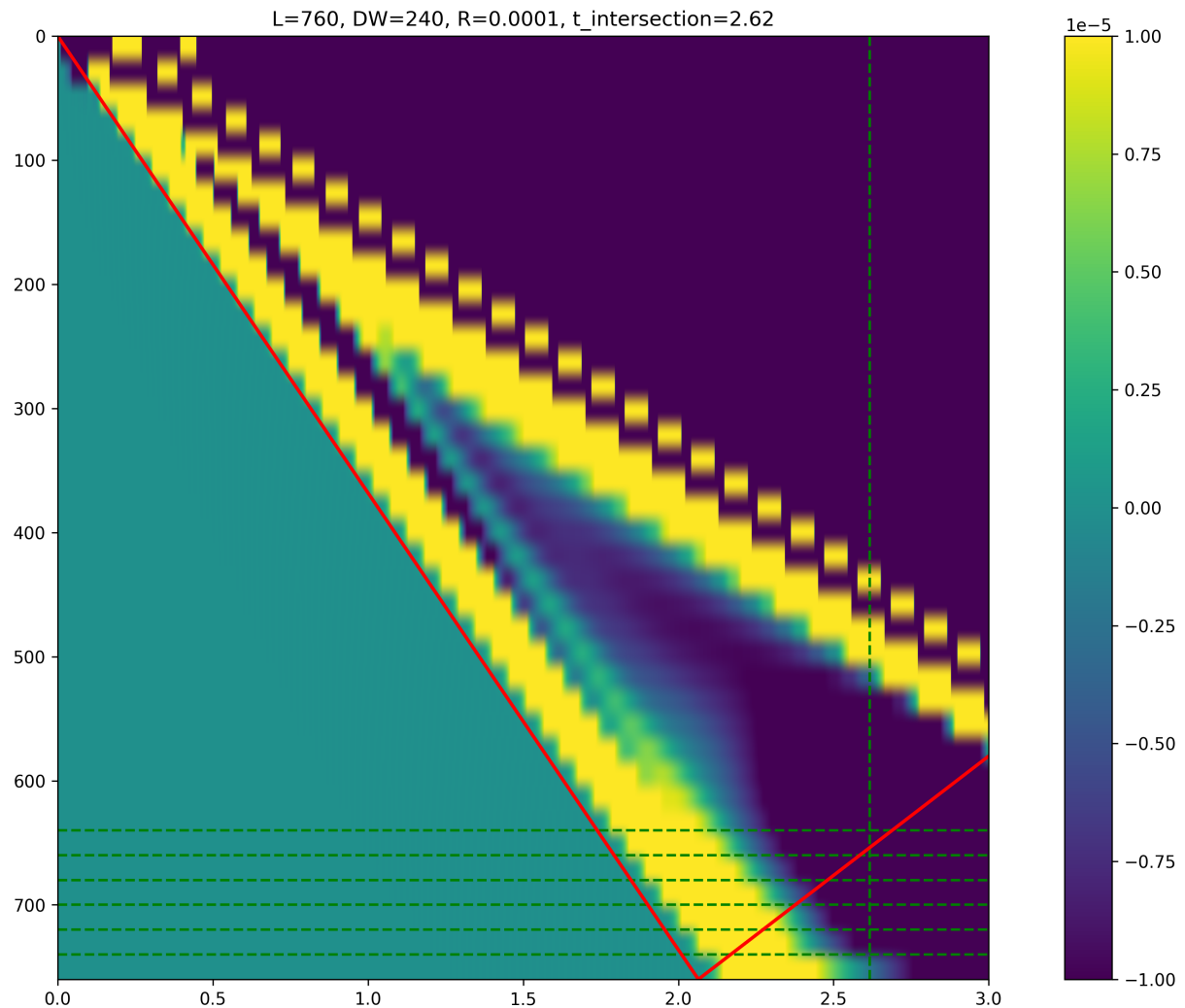


Рис. 1: Визуализация распространения волн в среде

## Анализ волн

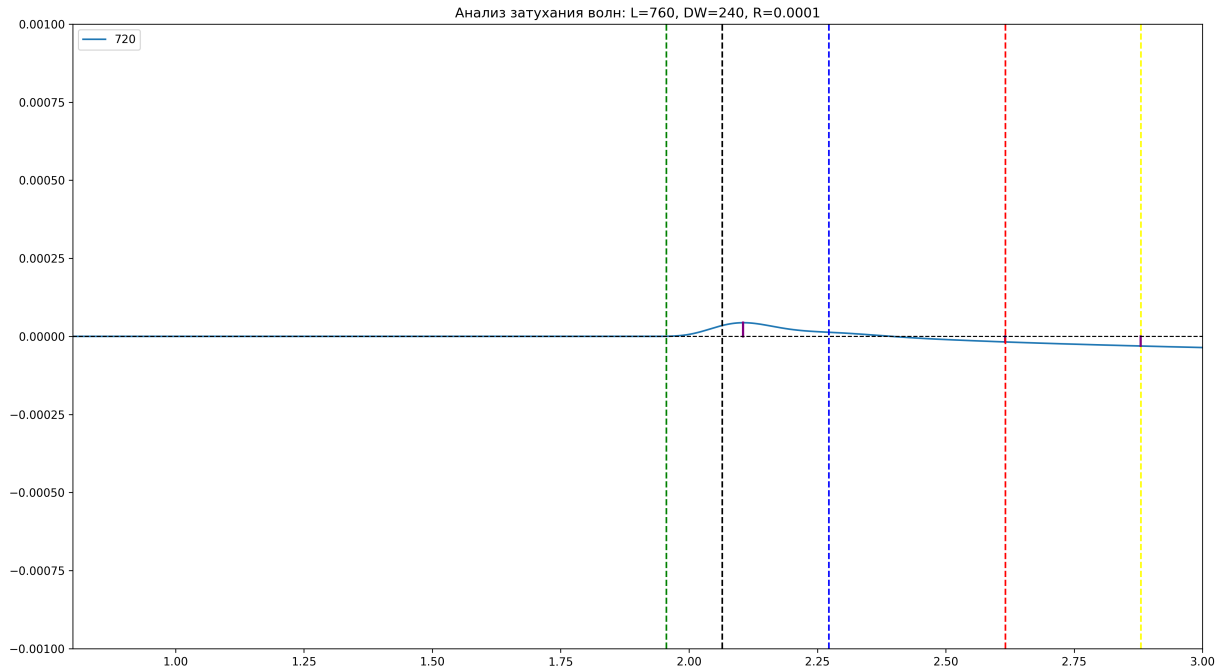


Рис. 2: Анализ падающих и отраженных волн

## Результаты анализа амплитуд

Позиция (м)	$t_{p,fall}$ (с)	$t_{p,refl}$ (с)	$t_{s,fall}$ (с)	$t_{int}$ (с)	$A_{p,fall}$	$A_{p,refl,0}$	$A_{p,refl,1}$	Ratio 0 (%)	Ratio 1 (%)
720.0	1.956	2.273	2.880	2.616	4.373e-05	1.783e-05	3.088e-05	40.78%	70.60%